

论 著

· 基础研究 ·

## HBV基因组A1846T变异对病毒复制力及核心启动子活性的上调作用研究

江玲，许智慧，刘妍，李晓东，姚伟明，李韦杰，戴久增，辛绍杰，徐东平

**[摘要]** 目的 评价乙肝病毒(HBV)基因组核苷酸(nt)A1846T变异对病毒体外复制力及核心启动子(CP)转录活性的影响。方法 385例研究对象包括116例轻中度慢性乙肝(CHB-M)患者，123例重度慢性乙肝(CHB-S)患者和146例慢加急性肝衰竭(ACLF)患者。从患者血清中提取HBV DNA，PCR扩增HBV全长基因组，统计A1846T变异的发生率。挑选代表性A1846T变异株HBV全长序列克隆至pGEM-Teasy载体中，并通过定点突变获得野生型对照。BspQ I /Sca I 双酶切HBV基因组，转染HepG2细胞，检测病毒复制力和HBsAg表达水平；用PCR分别扩增含nt1846变异型和野生型的HBV CP区片段，构建pGL3-CP双荧光素酶真核报告表达载体，转染HepG2细胞，分析检测 A1846T变异对荧光素酶表达的影响。结果 HBV A1846T变异发生率随疾病程度加重依次增高，CHB-M、CHB-S和ACLF患者的变异检出率分别为31.03%、42.27%和55.48%( $P<0.01$ )。A1846T变异株的复制力、分泌的HBsAg水平和核心启动子活性较野生株分别提高了320%、28%和85%，常见的CP区A1762T/G1764A双联变异株分别较野生株提高了67%、9%和72%，A1846T变异对提高病毒复制力的影响更强。结论 A1846T变异可显著增加HBV复制力，提高HBsAg表达水平，增强启动子活性，顺式激活下游基因转录表达，提示该变异可能与慢性乙肝重症化发生机制相关。

**[关键词]** 肝炎病毒，乙型；肝功能衰竭；突变；启动区；DNA复制

**[中图分类号]** R512.62

**[文献标志码]** A

**[文章编号]** 0577-7402(2013)01-0010-05

Up-regulation effect of hepatitis B virus genome A1846T mutation on viral replication and core promoter activity

JIANG Ling<sup>1</sup>, XU Zhi-hui<sup>2</sup>, LIU Yan<sup>2</sup>, LI Xiao-dong<sup>2</sup>, YAO Wei-ming<sup>1</sup>, LI Wei-jie<sup>1</sup>, DAI Jiu-zeng<sup>2</sup>, XIN Shao-jie<sup>2</sup>, XU Dong-ping<sup>2\*</sup>

<sup>1</sup>Viral Hepatitis Research Laboratory, 302 Hospital of PLA, Peking University, <sup>2</sup>Institute of Infectious Diseases and Liver Failure Research Center, 302 Hospital of PLA, Beijing 100039, China

\*Corresponding author, E-mail: xudongping@yahoo.com

This work was supported by the National "Twelfth Five-Year Plan" Special Project for Infectious Diseases (2012ZX10002004-005)

**[Abstract]** Objective To evaluate the influence of hepatitis B virus (HBV) genome nucleotide A1846T mutation on the viral replication capacity and the transcription activity of HBV core promoter (CP) *in vitro*. Methods A total of 385 patients with hepatitis B admitted to the 302 Hospital of PLA were enrolled in the study, including 116 with moderate chronic hepatitis B (CHB-M), 123 with severe chronic hepatitis B (CHB-S), and 146 with acute-on-chronic liver failure (ACLF). Serum HBV DNA was isolated and full-length HBV genome was amplified. The incidence of A1846T was analyzed. Full-length HBV genomes containing 1846T mutation were cloned into pGEM-T easy vector, and the counterpart wild-type 1846A plasmids were obtained by site-directed mutagenesis. The full-length HBV genome was released from recombinant plasmid by BspQ I /Sca I digestion, and then transfected into HepG2 cells. Secreted HBsAg level and intracellular HBV core particles were measured 72 hours post-transfection to analyze the replication capacity (a 1.0-fold HBV genome model). 1846 mutant and wild-type full-length HBV genomes were extracted to amplify the fragment of HBV CP region, and the dual luciferase reporter of the pGL3-CP was constructed. The luciferase activity was detected 48 hours post-transfection. Results The incidence of A1846T mutation gradually increased with the severity of hepatitis B, reaching 31.03%, 42.27%, and 55.48% in CHB-M, CHB-S and ACLF patients respectively ( $P<0.01$ ).

**[基金项目]** 国家“十二五”传染病重大专项子课题(2012ZX10002004-005)

**[作者简介]** 江玲，硕士研究生。主要从事病毒性肝炎发病机制的研究

**[作者单位]** 100039 北京 北京大学解放军302医院教学医院病毒性肝炎研究室(江玲、姚伟明、李韦杰)；解放军302医院全军传染病研究所/肝衰竭诊疗与研究中心(许智慧、刘妍、李晓东、戴久增、辛绍杰、徐东平)

**[通讯作者]** 徐东平, E-mail: xudongping@yahoo.com

The replication capacity of 1846T mutants, level of secreted HBsAg, and transcriptional activity of CP promoter were increased by 320%, 28% and 85% respectively, compared with 1846A wild-type strains. While the more common double mutation A1762T/G1764A in CP region was increased by 67%, 9% and 72% respectively, compared with its counterpart wild-type strains. A1846T had a greater influence on viral replication capacity *in vitro*. Conclusions A1846T mutation could significantly increase the replication capacity of hepatitis B virus, secretion of HBsAg and transcription activity of CP promoter, and cis-activate the downstream gene transcription. The finding indicates that HBV genome A1846T mutation might play a role in liver disease progression.

[Key words] Hepatitis B virus; liver failure; mutation; promoter regions; DNA replication

乙肝病毒(HBV)感染是引起急慢性肝炎和进展性肝病包括肝硬化、肝衰竭和肝细胞癌的主要原因<sup>[1]</sup>。HBV DNA复制过程中存在反转录过程,由于DNA聚合酶缺乏读码校正功能,在免疫、药物等各种外界压力下,HBV在复制周期中容易发生变异<sup>[2]</sup>。HBV部分区段高度保守,是病毒复制的关键序列,这些部位一旦发生变异,会导致重要的生物学活性改变<sup>[3]</sup>。HBV核心启动子(core promoter, CP)位于nt1643-nt1849,可以调节核心蛋白、前核心蛋白和病毒DNA聚合酶的表达,其基因序列的保守性对于维持病毒的活跃复制非常关键。CP区变异与病毒和宿主的相互作用,以及HBV慢性感染最终引起肝细胞癌或乙肝重症化的发生密不可分<sup>[4]</sup>。本研究探讨了CP区变异引起的HBV病毒学变化,及其对乙肝重症化发生的影响。

## 1 材料与方法

**1.1 临床资料** 样本来源于2005年8月—2008年5月在解放军302医院就诊的385例病毒性乙肝患者,其中轻中度慢性乙肝(CHB-M)患者116例,重度慢性乙肝(CHB-S)患者123例,慢加急性肝衰竭(ACLF)患者146例,诊断标准符合2000年9月(西安)全国会议修订的《病毒性肝炎防治方案》<sup>[5]</sup>。

**1.2 主要试剂及引物** 病毒DNA提取试剂盒及PCR试剂购自北京天恩泽公司; Taq酶、T<sub>4</sub> DNA连接酶购自TaKaRa公司; pGEM-Teasy载体、JM109感受态细胞和荧光素酶检测试剂盒购自Promega公司; 胶回收试剂盒购自QiaGen公司; 质粒提取试剂盒购自上海生工公司; 定点突变试剂盒购自德国Stratagen公司; Kpn I、Bgl II、BspQ I、Sca I内切酶购自NEB公司; 转染试剂盒FuGENE HD 购自Roche公司。HBsAg诊断试剂盒购自北京科卫公司; 实时荧光定量试剂盒购自上海复星公司。引物

由上海生工合成,测序由北京天一辉远公司完成。

### 1.3 方法

**1.3.1 HBV DNA全基因组序列扩增及TA克隆** 采用病毒DNAout试剂裂解病毒并沉淀DNA,70%乙醇沉淀蛋白以提高DNA纯度。采用经典的一步法PCR扩增HBV全基因组序列<sup>[6]</sup>。将全长PCR产物进行纯化后加A,胶回收加A产物,与pGEM-Teasy载体连接,转化JM109感受态细菌后进行蓝白斑筛选,挑取白色菌落PCR阳性克隆送测序。

**1.3.2 CP区1846位点定点突变** 采用QuickChange定点突变试剂盒将CP区1846T定点突变回复为野生型1846A,获得除1846位点以外的基因背景完全相同的副本对照组。定点突变引物为P1、P2(表1),反应条件:95℃ 2min; 95℃ 20s, 60℃ 10s, 68℃ 4min, 18个循环; 68℃ 5min。产物模板DNA经Dpn I酶消化后,选择性保留未甲基化质粒,转化JM109高感受态细胞,挑选阳性克隆送测序确定突变是否成功。

**1.3.3 获得1.0倍全长HBV复制子及细胞转染** 提取含有全长HBV DNA的质粒进行BspQ I / Sca I 双酶切,胶回收3.2kb左右的DNA条带,获得1.0倍HBV DNA全长序列,紫外分光光度计定量,浓度为0.6~1.2μg/μl,A<sub>260</sub>/A<sub>280</sub>值为1.8。将人肝癌细胞系(HepG2)培养于含10%胎牛血清的DMEM中(37℃、5%CO<sub>2</sub>),转染前1d按1.5×10<sup>5</sup>个细胞/孔接种于12孔板中,细胞生长至50%~60%融合时采用脂质体转染法进行转染,每孔转染全长HBV DNA 1μg,脂质体2μl,设置未转染孔为阴性对照,转染72h后收获细胞。

**1.3.4 上清分泌的乙型肝炎表面抗原(HBsAg)和细胞内HBV核心颗粒检测** HepG2细胞转染72h后,收集细胞上清,采用ELISA方法检测HBsAg。收集细胞,经0.5%NP-40裂解,先后经DNase I和Proteinase K消化,再用酚、氯仿/异戊醇抽提,异

表1 定点突变及CP区PCR扩增引物

Tab.1 Primer sequences for site-directed mutagenesis and PCR amplification of CP region

Primer	Sequence	Note
P1	5'-CCTAATCATCTCATGTTCATGTCCT-3'	Used for sitedirected mutagenesis
P2	5'-AGGACATGAACATGAGATGATTAGG-3'	Used for sitedirected mutagenesis
P3	5'-CGGGTACCCACCAGGTCTGCCAAG-3' (Kpn I)	Sense primer for PCR amplification of CP region
P4	5'-GGAAGATCTAGGCTTGAACAGTAGGACATG-3' (Bgl II)	Autisense primer for PCR amplification of CP region

丙醇沉淀，乙醇漂洗，Elution Buffer重溶获得HBV复制中间体核心颗粒DNA。采用Real-time荧光定量法进行HBV定量，反映1.0倍HBV体外复制力。

**1.3.5 HBV CP区扩增及pGL3-CP荧光素酶表达载体构建** 取含有nt1846位点变异型与野生型的T-easy质粒，BspQ I /Sca I 双酶切，胶回收3.2kb左右的DNA条带，加T<sub>4</sub> DNA连接酶后自连。采用普通PCR扩增CP区，引物为P3、P4(表1)，反应条件：94℃ 3min；94℃ 15s，54℃ 15s，72℃ 30s，35个循环；72℃ 10min。CP区扩增产物胶回收，与pGL3-Basic载体分别进行Kpn I /Bgl II 双酶切，胶回收后在T<sub>4</sub> DNA连接酶作用下将两者定向连接，转化JM109感受态后筛选菌落PCR阳性克隆，提取质粒，行Kpn I /Bgl II 双酶切鉴定，酶切鉴定正确的载体质粒送测序。

**1.3.6 载体质粒瞬时转染及双荧光素酶报告基因检测** QiaGen试剂盒提取转染级pGL3-CP荧光素酶表达载体质粒，转染方法同前，以pRL-TK载体作为内参照进行共转染，每孔0.1μg，设置pGL3-Basic为阴性对照，pGL3-Control为阳性对照，48h后裂解细胞，参照荧光素酶检测试剂盒说明书使用单管型多

功能检测仪对荧光素酶活性进行检测，并用内参对其进行校正。

**1.4 统计学处理** 应用SPSS 16.0和SAS 9.0软件分析数据。正态分布的计量资料以x±s表示，方差齐时采用单因素方差分析，方差不齐采用Kruskal-Wallis秩和检验。计数资料采用χ<sup>2</sup>检验。P<0.05为差异有统计学意义。

## 2 结 果

**2.1 患者临床资料分析** 对各组患者进行统计分析，A1846T变异检出率在CHB-M、CHB-S和ACLF三组患者中呈升高趋势，分别为31.03%、42.27%和55.48% (P<0.01)。与ACLF比较，CHB-M和CHB-S的A1846T变异检出率明显降低 (P<0.05)，而CHB-M和CHB-S之间差异无统计学意义 (P=0.072)。经线性趋势检验，P<0.0001，Z=-3.9805，表明随着病情加重变异率增加。临床资料显示，CHB-M、CHB-S和ACLF患者HBeAg阳性率和HBV DNA载量依次降低 (P<0.01)，而谷丙转氨酶(ALT)和总胆红素(TBIL)水平则依次升高 (P<0.01，表2)。

表2 患者临床资料分析

Tab.2 Clinical data of the patients

Clinical data	CHB-M patients (n=116)	CHB-S patients (n=123)	ACLF patients (n=146)
Age(year)	41.1±13.0	38.8±13.4	46.0±12.0 <sup>(2)(4)</sup>
Male/Female	100/16	106/17	119/27
HBeAg (+/-)	88/28	58/65 <sup>(2)</sup>	49/97 <sup>(2)(3)</sup>
ALT(U/L)	169.00±249.00	460.39±376.02 <sup>(2)</sup>	527.70±995.60
TBIL(mmol/L)	42.38±76.80	106.54±112.31 <sup>(2)</sup>	313.40±144.30 <sup>(2)(4)</sup>
HBV DNA(log <sub>10</sub> copy/ml)	6.27±1.26	5.93±1.36 <sup>(1)</sup>	5.00±1.90 <sup>(2)(4)</sup>
A1846T mutation rate (%)	31.03	42.27	55.48 <sup>(2)(3)</sup>

(1)P<0.05，(2)P<0.01 compared with CHB-M patients；(3)P<0.05，(4)P<0.01 compared with CHB-S patients

**2.2 定点突变检测结果** 测序证实，经典的双联变异型A1762T/G1764A回复突变为野生型A1762/G1764，变异型1846T回复突变为野生型A1846。图1显示定点突变鉴定成功。

**2.3 1.0倍全长HBV DNA复制力评价** 克隆至pGEM-Teasy载体中的全基因组HBV DNA经BspQ I /Sca I 双酶切后，胶回收获得1.0倍全长HBV DNA(图2)。变异型的A1762T/G1764A和A1846T复制力较相应野生株分别提高了67%和320%，HBsAg分别提

高了9%和28%，表明A1846T变异可显著增加HBV DNA载量，提高病毒复制力及HBsAg的表达。

**2.4 pGL3-CP荧光素酶表达载体的构建** 构建成功的PGL3-CP荧光报告载体质粒经Kpn I /Bgl II 双酶切，1.5%琼脂糖凝胶电泳鉴定为4.8kb的载体片段和243bp的CP区插入片段(图3)，酶切鉴定正确后送DNA测序，结果证实插入的CP区片段方向与载体核苷酸序列相同，除1846位点外其他碱基未发生变异，双荧光素酶报告载体构建成功。

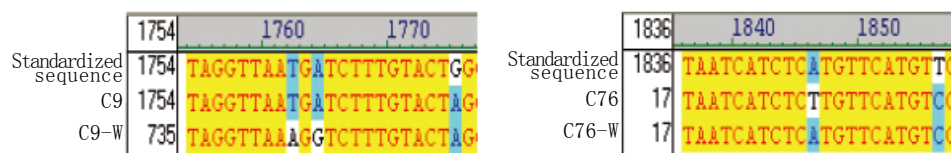


图1 定点突变测序结果

Fig.1 Result of site-directed mutagenesis detected by DNA sequencing

C9. 1762/1764 double-mutation type; C9-W. Wild type; C76. 1846 mutation type; C76-W. Wild type

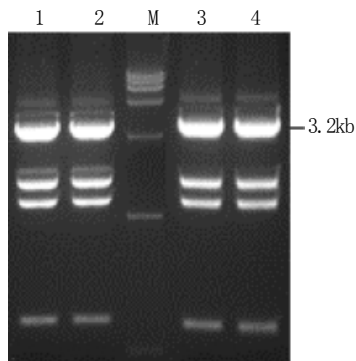


图2 1.0倍全长HBV DNA酶切结果

Fig.2 Identification of the full-length HBV DNA in T-easy plasmid by *BspQ I /Sca I* digestion

M. Marker 1kb; 1. 1762/1764 double-mutation type; 2. Wild type; 3. 1846 mutation type; 4. Wild type

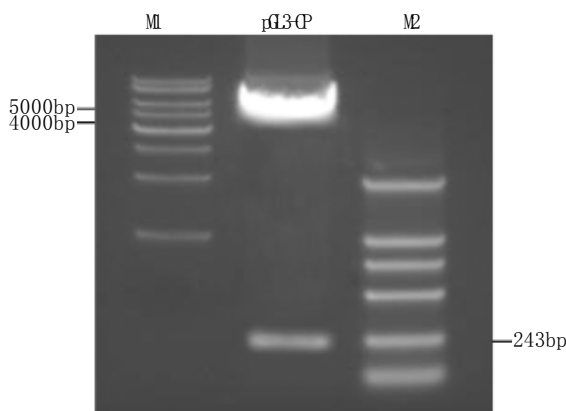


图3 pGL3-CP双酶切鉴定

Fig.3 Identification of pGL3-CP plasmid by *Kpn I /Bgl II* digestion

M1. Marker 1kb; M2. Marker 2000

**2.5 启动子活性检测** 经双荧光报告系统检测, 变异型A1762T/G1764A和相应野生型的启动子活性分别为0.609和0.353, 变异型A1846T和相应野生型启动子活性分别为0.795和0.430, 变异型分别较相应野生株提高了72% (与文献[7]报道基本一致) 和85%, 表明A1846T变异能加强启动子活性, 顺式激活下游基因转录, 从而增加病毒的产生, 与复制力评价结果一致。

### 3 讨 论

HBV感染后发生重型肝炎的病理机制是由病毒和机体双方决定的, 其病变的进展影响因素较多, HBV前C/CP区基因变异可能是其中的重要原因之一。基因变异可能是由多因素决定的, 但目前更倾向于是在人体免疫压力的作用下发生的。HBV基因变异可通过增强病毒复制能力、免疫原性和致病性影响机体的免疫应答反应, 导致HBV感染持续并加重对肝细胞的损害, 因此HBV基因变异可能参与了

重型肝炎的发生和发展<sup>[8]</sup>。前C/CP是HBV复制的关键性调控因子, 调控HBV前C基因组mRNA和前基因组mRNA的转录, HBV前C区变异还可使免疫耐受因子HBeAg的合成和分泌减少, 进而影响CTL介导的肝细胞杀伤, CP区的变异还可能导致病毒的成熟及分泌、感染性及肝外趋向性等发生改变<sup>[9]</sup>。CP区的A1762T/G1764A双联变异可使3'端茎环结构发生改变, 稳定性增强, 促进病毒的转录及复制<sup>[10]</sup>, 与肝炎活动性、移植后严重肝病和肝细胞癌密切相关<sup>[11]</sup>。新近有研究表明CP区的A1846T变异在ACLF患者中检出率较高, 但未分析该变异对病毒生物活性的影响<sup>[12]</sup>。

本研究发现A1846T变异率随疾病严重程度递增, 且该变异会导致病毒活力增强, 推测加重机体过强的炎性反应是该变异与乙肝重症化的内在机制。以经典的A1762T/G1764A作为对照, 结果表明, 在不同诊断的乙肝患者中, 随着病情加重, A1846T位点的变异率增加, HBeAg阳性率和HBV DNA载量降低( $P<0.01$ ), 而ALT和TBIL水平则依次升高( $P<0.01$ ), 提示A1846T变异与乙肝重症化相关。在统计学分析基础上, 构建1.0倍HBV复制模型进行复制力评价, 排除外源启动子对HBV复制的影响, 结果表明A1846T位点变异后, 病毒复制力显著升高(变异型较野生株提高320%), HBsAg检测结果与复制力一致(变异型较野生株提高28%)。进一步进行前C/CP区启动子活性研究, 结果表明A1846T变异可增强前C/CP启动子活性(变异型较野生株提高85%), 顺式激活下游基因转录。

以上结果提示, A1846T变异可能与乙肝重症化相关。本研究进一步证实了HBV前C/CP变异与重型肝炎发生之间的关系, 为重型肝炎的发病机制研究提供了科学依据。

### 【参考文献】

- [1] William M, Lee MD. Hepatitis B virus infection[J]. New England J, 1997, 337(24):1733-1745.
- [2] Sheldon J, Rodès B, Zoulim F, et al. Mutations affecting the replication capacity of the hepatitis B virus[J]. J Viral Hepat, 2006, 13(7): 427-434.
- [3] Gao XS, Cheng J, Zhen Z, et al. Research progress in HBV core promoter[J]. World Chin J Digestol, 2005, 13(8): 933-936. [高学松, 成军, 颜真, 等. 乙型肝炎核心启动子研究进展[J]. 世界华人消化杂志, 2005, 13(8): 933-936.]
- [4] Ren XQ, Xu ZH, Xu DP, et al. Mutation and significance of HBV precore and basal core promoter in 958 patients with chronic hepatitis B[J]. Med J Chin PLA, 2009, 34(6): 663-665. [任晓强, 许智慧, 徐东平, 等. 958例乙型肝炎患者HBV前C/CP区变异检测及其意义分析[J]. 解放军医学杂志, 2009, 34(6): 663-665.]
- [5] Chinese Society of Infectious Diseases and Parasitology, Chinese

- Society of Hepatology. Management scheme of diagnostic and therapy criteria of viral hepatitis[J]. Chin J Hepatol, 2000, 8(6): 342–345. [中华医学会传染病与寄生虫病学分会、肝病学分会. 病毒性肝炎防治方案[J]. 中华肝脏病杂志, 2000, 8(6): 342–345.]
- [6] Günther S, Li BC, Miska S, et al. A novel method for efficient amplification of whole hepatitis B virus genome permits rapid functional analysis and reveals deletion mutants in immunosuppressed patients[J]. Virology, 1995, 69(9): 5437–5444.
- [7] Scaglioni PP, Melegari M, Wands JR. Biologic properties of hepatitis B viral genomes with mutations in the precore promoter and precore open reading frame[J]. Virology, 1997, 233(2): 374–381.
- [8] Wang JY, Liu P. Abnormal immunity and gene mutation in patients with severe hepatitis-B[J]. World J Gastroenterol, 2003, 9(9): 2009–2011.
- [9] Chen M, Sallberg M, Hughes J, et al. Immune tolerance split between hepatitis B virus precore and core proteins[J]. J Virol, 2005, 79(5): 3016–3027.
- [10] Jammeh S, Tavner F, Watson R, et al. Effect of basal core promoter and pre-core mutations on hepatitis B virus replication[J]. J Gen Virol, 2008, 89(4): 901–909.
- [11] Gunther S, Piwon N, Will H. Wild-type levels of pregenomic RNA and replication but reduced pre-C RNA and e-antigen synthesis of hepatitis B virus with C(1653)→T, A(1762)→T and G(1764)→A mutations in the core promoter[J]. J Gen Virol, 1998, 79(pt2): 375–380.
- [12] Yan T, Li K, Li F, et al. T1846 and A/G1913 are associated with acute or chronic liver failure in patients infected with hepatitis B virus genotypes B and C[J]. J Med Virol, 2011, 83(6): 996–1004.

(收稿日期: 2012-08-26; 修回日期: 2012-12-30)

(责任编辑: 熊晓然)